

مقایسه واکنش‌های فیزیولوژیک ژنوتیپ‌های کلزا (*Brassica napus*) به سطوح مختلف شوری

وحید اطلسی پاک* مجید نبی‌پور و موسی مسکر باشی^۱

(تاریخ دریافت: ۱۳۸۸/۳/۹؛ تاریخ پذیرش: ۸۸/۱۰/۲۶)

چکیده

به منظور مقایسه واکنش‌های فیزیولوژیک ژنوتیپ‌های مختلف کلزا نسبت به تنش شوری ده ژنوتیپ کلزا تحت سطوح مختلف شوری (شاهد ۲/۴)، ۱۴، ۱۰ و ۱۸ دسی‌زمینس بر متر) به مدت ۳۰ روز قرار گرفتند. کشت به صورت هیدروپونیک با محلول غذایی هوگلندر در اتاق رشد انجام شد. تیمار شوری در زمان چهار برجی یا استقرار ریشه‌ها اعمال شد. نتایج نشان داد عملکرد کوآنتمومی فتوسیستم دو در شرایط سازگاری با تاریکی (Fv/Fm) و روشنایی (ΦPSII) در ژنوتیپ‌های حساس تحت تأثیر شوری قرار گرفت. تیمار شوری مقدار ماده خشک اندام‌های هوایی، فتوستز (A)، هدایت روزنه‌ای (gs) و تعرق (E) را به طور معنی‌داری کاهش داد. بین ژنوتیپ‌های مختلف نیز از نظر این صفات اختلاف معنی‌دار وجود داشت. ژنوتیپ‌های MHA 4921 Hyola 401 و MHA 4921 در حداکثر ماده خشک اندام هوایی در سطوح بالای شوری (۱۴ و ۱۸ دسی‌زمینس بر متر) بودند. این دو ژنوتیپ در بین بقیه متحمل ترین ژنوتیپ‌ها نسبت به شوری بودند. مقدار نسبت کلروفیل (SPAD) در ژنوتیپ‌های متحمل دارای تغییر معنی‌داری نبود، اما در ژنوتیپ‌های حساس افت چشمگیری از خود نشان داد. عملکرد کوآنتمومی فتوسیستم دو در ژنوتیپ‌های متحمل در این آزمایش تحت تأثیر شوری واقع نشد.

واژه‌های کلیدی: نش شوری، کلزا، عملکرد کوآنتمومی فتوسیستم II، ژنوتیپ، فتوستز

مقدمه

آثار منفی آن بر رشد گیاهان زراعی باعث افزایش تحقیقات در زمینه تحمل به شوری با هدف بهبود تحمل گیاهان شده است (۵۴). شوری از طریق کاهش پتانسیل اسمزی محلول خاک یا استرس آبی (۵ و ۳۲)، تأثیر ویژه یونی (۳ و ۲۶) و به هم خوردن تعادل عناصر غذایی به دلیل افزایش غلظت Na^+ باعث آسیب

املاح موجود در خاک‌ها یکی از مشکلات عمدۀ در ارتباط با رشد گیاهان می‌باشد (۴۶) و تأثیر محدود کنندگی آن بر عملکرد ارقام مختلف گیاهان زراعی به اثبات رسیده است (۸، ۲۱، ۳۴ و ۴۹).

تنش شوری یکی از مهم‌ترین تنش‌های غیرزیستی بوده و

۱. به ترتیب دانشجوی دکتری، دانشیار و استادیار زراعت، دانشکده کشاورزی، دانشگاه شهید چمران اهواز

*: مسئول مکاتبات، پست الکترونیکی: vatlasi@gmail.com

می دهد (۹ و ۴۲)، از این رو فتوستتر به عنوان یک ملاک فیزیولوژیک انتخاب جهت تحمل به شوری معرفی شده است (۵) و در مطالعات متعددی از آن جهت انتخاب ارقام مقاوم به شوری در کلزا استفاده شده است (۹ و ۴۲). تنش شوری در گیاه (۲۰)، گندم هگزا پلوئید (۷)، گونه های وحشی سویا (۲۸) و برنج (۴۸) کاهش فتوستتر را دنبال دارد، ولی ارقام مقاوم این گیاهان کاهش کمتری از خود نشان می دهند. در مورد گیاهان غیر زراعی مثل توت (*Morus alba*) نیز افزایش شوری کاهش فتوستتر را به دنبال داشته، ولی در رقم مقاوم مقدار فتوستتر کمتر تحت تأثیر قرار گرفته است (۳۰).

شوری در ابتدا منجر به تنش اسمزی و کاهش آب قابل دسترس در گیاهان می شود (۳۹ و ۵۰) و اختلال در رشد گیاه نیز در ابتدا به دلیل کاهش آب قابل دسترس می باشد (تجمع یون های سمی مرحله بعد می باشد) (۳۹). ارقام حساس و مقاوم در واکنش به شوری جهت حفظ فشار تورگر برای ادامه رشد از تنظیم اسمزی استفاده می کنند. در مقادیر بالای شوری اختلافی در تنظیم اسمزی در ارقام حساس و مقاوم دیده نشده است، که این نشان دهنده عدم ارتباط بین تنظیم اسمزی و سازگاری به شوری است. نتیجه این که ارقام حساس و مقاوم در مقابله با استرس شوری و در مقادیر بالای شوری دچار تنش اسمزی خواهند شد (۳۳).

کاهش فتوستتر در اثر تنش شوری نیز نتیجه بسته شدن روزنه ها در اثر تنش اسمزی و یا نتیجه خسارت به دستگاه فتوستتری (کاهش راندمان زنجیره انتقال الکترون و آنتن های جمع آوری کننده نور) می باشد (۱۳ و ۲۸). اندازه گیری تبادلات گازی فتوستتری اطلاعاتی را در مورد تأثیر شوری بر میزان فتوستتر خالص و هدایت روزنه ای در اختیار ما قرار می دهد. از طرفی نیز اندازه گیری فلورسانس کلروفیل روشنی سریع و غیر تحریبی جهت تخمین عملکرد فتوستتری محسوب می شود (۲۸). کارکرد دستگاه فتوستتری را می توان از طریق اندازه گیری (Fv/Fm) مورد بررسی قرار داد که نشان دهنده عملکرد کوآنتومی مرکز واکنش فتو سیستم II می باشد (۲۰). به عقیده

به گیاه می شود. تأثیرات مضر املاح بر روی گیاهان نتیجه تلفیق عواملی می باشد که می توان آن را در گیاه به صورت کاهش رشد مشاهده کرد (۱۷). تحمل به شوری فرایند پیچیده ای است که از طریق سازگاری در دامنه وسیعی از فرایندهای فیزیولوژیک حاصل می شود (۴۶). سیستم های دفاعی گیاهان در مقابله با تنش شوری شامل هوموستازی یونی (۴۰) بیوسنتز اسمولیت ها (۸ و ۳۴)، محفظه بندی (Compartmentation) یون های سمی (۱۶ و ۴۶) و سیستم های زدایندگی گونه های اکسیژن فعال (۹ و ۵۵) می باشد. هوموستازی را گرایش سلول یا موجود زنده به حفظ تعادل یا ثبات (حتی در واکنش به تحریکات محیطی) بیان کرده اند (۴۰).

گونه های مختلف براسیکا (*Brassica spp*) در کشاورزی از اهمیت ویژه ای برخوردار هستند (۱۲) و تحمل به شوری در این گونه ها (براسیکا) به دلیل روابط ژنی موجود بسیار پیچیده می باشد (۱۱). روغن کلزا به دلیل پایین بودن میزان اسید اروپسیک (کمتر از ۲٪ کل اسیدهای چرب) و گلوکرینولات (کمتر از ۳ میکرو مول بر گرم دانه) مصرف زیادی در دنیا دارد و از آنجا که کلزا پتانسیل مقابله با سمتیت ناشی از شوری و املاح را دارد، رشد آن می تواند در خاک های شور با موفقیت انجام شود (۴۲). تنش شوری باعث کاهش رشد و عملکرد گیاه می شود که دلیل آن اختلال در فرایندهای فیزیولوژیک به ویژه فتوستتر می باشد (۴۷).

فتوستتر تحت تأثیر تنش شوری قرار گرفته که مقدار این تأثیر به میزان شوری و مدت زمان اعمال آن بستگی دارد (۱۹). در ۶ گونه آمفی دیپلولوئید و دیپلولوئید براسیکا ارتباط مستقیمی بین میزان فتوستتر و عملکرد تحت شرایط شوری دیده شده است (۴). در مقایسه گونه های مختلف براسیکا (۴) و نیز ارقام مختلف کلزا (۹ و ۲۲) ارتباط مستقیمی بین فتوستتر و مقدار ماده خشک گزارش شده است. افزایش شوری باعث کاهش مقدار ماده خشک در ارقام مختلف کلزا می شود (۲، ۶، ۲۵ و ۴۲) و از آنجا که بین ماده خشک و عملکرد ارتباط مستقیمی وجود دارد، افزایش شوری عملکرد دانه را در کلزا کاهش

ژرمنیاتور قرار گرفتند. بذرهای جوانه‌دار شده پس از یک هفته در سوراخ‌های تعییه شده در صفحات یونولیتی با ضخامت ۲ سانتی‌متر قرار داده شدند. گیاهچه‌ها به مدت ۲ هفته بدون اعمال تنش شوری در محلول غذایی هوگلندر داکل اتفاق نداشتند. رشد در دمای $18/24$ درجه سانتی‌گراد (روز/شب) رشد کرده تا به مرحله استقرار ریشه‌ها (حدود ۴ برگی) رسیدند. رطوبت نسبی در داخل اتفاق رشد 5 ± 55 درصد و شدت تابش نیز ۵۰ میکرو مول بر مترمربع بر ثانیه بود. طول روز نیز ۱۴ ساعت در نظر گرفته شد. محلول غذایی هوگلندر توسط پمپ آکواریوم هوادهی شد. زمانی که گیاهچه‌ها به مرحله حدود ۴ برگی رسیدند، در محلول غذایی هوگلندر تنش شوری اعمال شد (۹، ۱۰، ۴۱ و ۴۲). محیط کشت هر هفته تعویض شده و pH آنها هر روز با استفاده از NaOH و HCl در سطح ۵/۵-۵/۸ تنظیم شد. سطوح تیمار شوری از زمان ۴ برگی به بعد به مدت ۳۰ روز با استفاده از نمک NaCl (مرک) اعمال شد (۴، ۹). پس از گذشت ۳۰ روز از اعمال تنش شوری پارامترهای مورد نظر اندازه‌گیری شد. مقادیر فتوسترز و تعرق با استفاده از دستگاه LCA-4-ADC مورد اندازه‌گیری قرار گرفت. هدایت روزنه‌ای توسط دستگاه پرومتر و مقدار کلروفیل توسط دستگاه کلروفیل سنج SPAD-502 (مینولتا-ژاپن) اندازه‌گیری شد. پارامترهای فلورسانس نیز توسط دستگاه فلورسانس متر (والر-آلمان) مورد سنجش و بررسی قرار گرفت. به منظور تجزیه و تحلیل داده‌ها و مقایسه میانگین‌ها (به روش دانکن و SAS MSTAT-C و SAS در سطح ۵ و ۱ درصد) از نرم افزارهای Excel، استفاده شد.

نتایج

تأثیر تیمار شوری، ژنوتیپ و اثر متقابل آنها بر حداکثر عملکرد کوآنتمومی در شرایط تاریکی (Fv/Fm) معنی دار بود (جدول ۱)، بیشترین مقدار مربوط به شاهد ($0/83$) و کمترین مقدار مربوط به سطح 18 دسی‌زیمنس بر متر ($0/44$) بود. در بین ژنوتیپ‌های مختلف نیز MHA4921، MHA401 و Sariyol Hyola401 مختلف پس از ضد عفونی به مدت یک هفته در داخل

خان و همکاران فلورسانس کلروفیل یک بررسی غیر تخریبی به منظور مطالعه رویدادهای بیوشیمیایی فتوسترز بوده و اطلاعات با ارزشی را در مورد میزان فتوسترز خالص در اختیار قرار می‌دهد. هم‌چنین ایشان اظهار داشتند که رابطه Fv/Fm با عملکرد کوآنتمومی در فتوسترز خطی می‌باشد. با توجه به موارد ذکر شده اندازه‌گیری فلورسانس کلروفیل جهت تخمین خسارت استرس شوری توسط محققین زیادی به کار گرفته شده است (۱۴، ۲۸، ۳۸، ۴۶ و ۵۲). فتوسترز در شرایط تنش اسمزی یا کم آبی ابتدا از طریق کاهش هدایت روزنه و سپس عوامل غیر روزنه‌ای دچار اختلال می‌شود. نتیجه این‌که تعیین جذب و تحلیل (اسیمیلاسیون) CO_2 تحت شرایط تنش شوری و نیز سنجش عملکرد کوآنتمومی فتوسیستم II ارزیابی محدودیت‌های غیر روزنه‌ای را ممکن ساخته و میزان تحمل به شوری دستگاه فتوسترزی در ارقام مختلف کلزا را مورد مقایسه قرار می‌دهد. این تحقیق با هدف تعیین تأثیر تنش شوری بر تبادلات گازی و فلورسانس کلروفیل در ژنوتیپ‌های مختلف کلزا انجام شده است تا این طریق محدودیت‌های غیر روزنه‌ای فتوسترز که در اثر استرس شوری موجب کاهش فتوسترز، ماده خشک و در نهایت عملکرد می‌شوند، مورد بررسی قرار گیرند.

این آزمایش در دانشکده کشاورزی دانشگاه شهید چمران اهواز در سال ۱۳۸۷ به اجرا درآمد. این تحقیق در قالب کرت‌های خرد شده بر پایه طرح کاملاً تصادفی با سه تکرار اجرا شد. فاکتور اصلی شوری دارای ۵ سطح و فاکتور فرعی شامل 10 ژنوتیپ بود. کشت به صورت هیدرопونیک با محلول غذایی هوگلندر انجام شد. سطوح شوری عبارت بودند از: شاهد ($2/5$)، 6 ، 10 و 18 دسی‌زیمنس بر متر. فاکتور فرعی نیز شامل 10 ژنوتیپ مختلف کلزا بود که عبارت‌اند از: Sariyol، Ahatrol، RGS003، MHA8725، MHA4921، Hyola401، Hyola308 MHA4026، MHA9716، MHA8716. بذرهای ژنوتیپ‌های مختلف پس از ضد عفونی به مدت یک هفته در داخل

کمترین مقدار مربوط به MHA9716 و به ترتیب به مقدار ۳/۴ و ۲/۱ گرم بود. مقایسه میانگین‌های اثرات متقابل نشان داد که در دو سطح بالای شوری (۱۴ و ۱۸ دسی‌زیمنس بر متر) حداکثر ماده خشک کل مربوط به Hyola401 و MHA4921 بود (شکل ۱). در شرایط نرمال (شاهد) بیشترین مقدار از لحظه ماده خشک کل مربوط به RGS003 بود.

مقدار هدایت روزنه ای در بین سطوح مختلف شوری مورد بررسی قرار گرفت. با افزایش سطح شوری مقدار هدایت روزنه ای (gs) کاهش یافت و اختلاف بین تیمارهای شوری از این لحظه معنی‌دار بود (جدول ۱). بیشترین و کمترین مقدار از این لحظه (۱/۱۵ و ۰/۲۶ میکرومول H_2O بر متر مربع بر ثانیه) به ترتیب مربوط به شاهد و شوری ۱۸ دسی‌زیمنس بر متر بود. اختلاف بین ژنتیپ‌ها و اثرات متقابل آنها نیز از نظر مقدار هدایت روزنه‌ای معنی‌دار بود. در بین ژنتیپ‌ها Sarigol بیشترین مقدار (۰/۶۰) و RGS003 کمترین مقدار (۰/۰۷) را از نظر هدایت روزنه‌ای به خود اختصاص داد.

مقدار تعرق (E) نیز با افزایش سطح شوری کاهش یافت و اختلاف بین سطوح مختلف شوری و ژنتیپ‌ها و اثر متقابل آنها نیز از این لحظه معنی‌دار بود (جدول ۱). در بین ژنتیپ‌ها Hyola401 بیشترین و MHA9716 دارای کمترین مقدار تعرق بود.

سطوح مختلف شوری از لحظه عدد کلروفیل متر (SPAD) اختلاف معنی‌دار داشتند. بیشترین مقدار عدد کلروفیل متر مربوط به شاهد (۳۶/۵) و کمترین مقدار مربوط به تیمار ۱۸ دسی‌زیمنس بر متر (۲۵/۹) بود. اختلاف بین ژنتیپ‌ها معنی‌دار بود ولی اثرات متقابل معنی‌دار نشد. MHA4921 و Hyola401 دارای حداکثر مقدار (به ترتیب ۴۰/۴ و ۴۰/۹) بودند و اختلاف بین این دو رقم از نظر مقدار کلروفیل غیر معنی‌دار شد. MHA4921 و Hyola401 در سطوح مختلف شوری تغییری از این نظر از خود نشان ندادند (شکل ۲).

در یک گروه آماری قرار گرفته و بیشترین مقدار Fv/Fm (۰/۸۴ و ۰/۸۰) را به خود اختصاص دادند. در ضمن پایین‌ترین مقدار Fv/Fm مربوط به MHA9716 و MHA4026 و به مقدار ۰/۶۲ بود. بقیه ژنتیپ‌ها حد واسطه قرار داشتند (شکل ۲).

مقدار ΦPSII که نشان‌دهنده عملکرد کوآنتمی فتوسیستم دو در شرایط روشنایی می‌باشد، تحت تأثیر تیمار شوری قرار گرفت (جدول ۱). کمترین مقدار ΦPSII مربوط به بالاترین سطح شوری (۱۸ دسی‌زیمنس بر متر) و به مقدار ۰/۴۶ بود. بیشترین مقدار نیز مربوط به شاهد و به مقدار ۰/۷۹ بود. اختلاف بین ژنتیپ‌ها و اثرات متقابل آنها نیز از این نظر معنی‌دار شد. در بین ژنتیپ‌های مختلف نیز حداکثر مقدار ΦPSII مربوط به MHA4921 و به مقدار ۰/۷۸ بود. کمترین مقدار ΦPSII مربوط به MHA9716 و به مقدار ۰/۵۵ بود (شکل ۱).

مقدار فتوستز (A) در همه ژنتیپ‌ها با افزایش سطح شوری کاهش یافت. تفاوت بین مقدار فتوستز خالص در سطوح مختلف شوری معنی‌دار بود. اختلاف بین ژنتیپ‌ها نیز از این نظر در سطح ۵ درصد نیز معنی‌دار شد. بیشترین مقدار فتوستز در بین ژنتیپ‌ها مربوط به RGS003 و کمترین مقدار مربوط به MHA9716 و به ترتیب به مقدار ۱۲/۸۱ و ۱۱/۴۸ میکرومول CO_2 بر مترمربع بر ثانیه بود. اثر متقابل بین دو تیمار نیز معنی‌دار نبود (جدول ۱). در سطح بالای شوری Hyola401 و MHA4921 به لحظه مقدار فتوستز مقادیر بالایی را به خود اختصاص دادند.

اختلاف بین مقدار ماده خشک کل اندام‌های هوایی (TDM) در بین سطوح مختلف شوری معنی‌دار بود (جدول ۱). بیشترین مقدار ماده خشک کل مربوط به شاهد و کمترین مقدار مربوط به شوری ۱۸ دسی‌زیمنس بر متر و به ترتیب به مقدار ۴/۷ گرم و ۱/۰ گرم در بوته بود. اختلاف بین ژنتیپ‌ها و نیز اثر متقابل آنها با شوری معنی‌دار بود. در بین ژنتیپ‌های مختلف بیشترین مقدار ماده خشک مربوط به Hyola401 و

جدول ۱. نتایج تجزیه واریانس میانگین مربوط به صفات ماده خشک اندام‌های هوایی، $\frac{F_v}{F_m}$ ، Φ_{PSII} ، $SPAD$ ، هدایت روزنای (gs)، تعرق (E) و فتوستز (A)

منابع تغییر	df	ماده خشک اندام‌های هوایی	$\frac{F_v}{F_m}$	Φ_{PSII}	SPAD	هدایت روزنای (gs)	تعرق (E)	فتوستز (A)
تیمار شوری	۴	۸۹/۵۷**	۲۴۴/۹۹**	۳۸۵/۳۰**	۵۶۰/۷۷**	۳/۴۳۶**	۴۵/۰۶۵**	۱۷۴/۸۸**
خطای الف	۱۰	۰/۰۷۵	۱/۹۹	۲/۵۴	۱۹/۹۰	۰/۰۱۹	۰/۲۱۶	۰/۳۱۰
ژنوتیپ	۹	۲/۲۳**	۳۴/۲۱**	۶۴/۰۱**	۳۰۵/۱۶**	۰/۱۱۲**	۰/۷۴۴**	۱/۶۳۸*
ژنوتیپ × تیمار شوری	۳۶	۰/۳۴۱**	۱۷/۱۴**	۲۵/۶۷**	۳۵/۰۹ ^{ns}	۰/۰۶۵**	۱۷/۱۴**	۰/۷۲۴ ^{ns}
خطای ب	۹۰	۰/۰۶۳	۰/۰۰۳	۰/۸۳۱	۲۵/۰۱	۰/۰۲۶۶	۰/۰۵۲	۰/۸۴۵

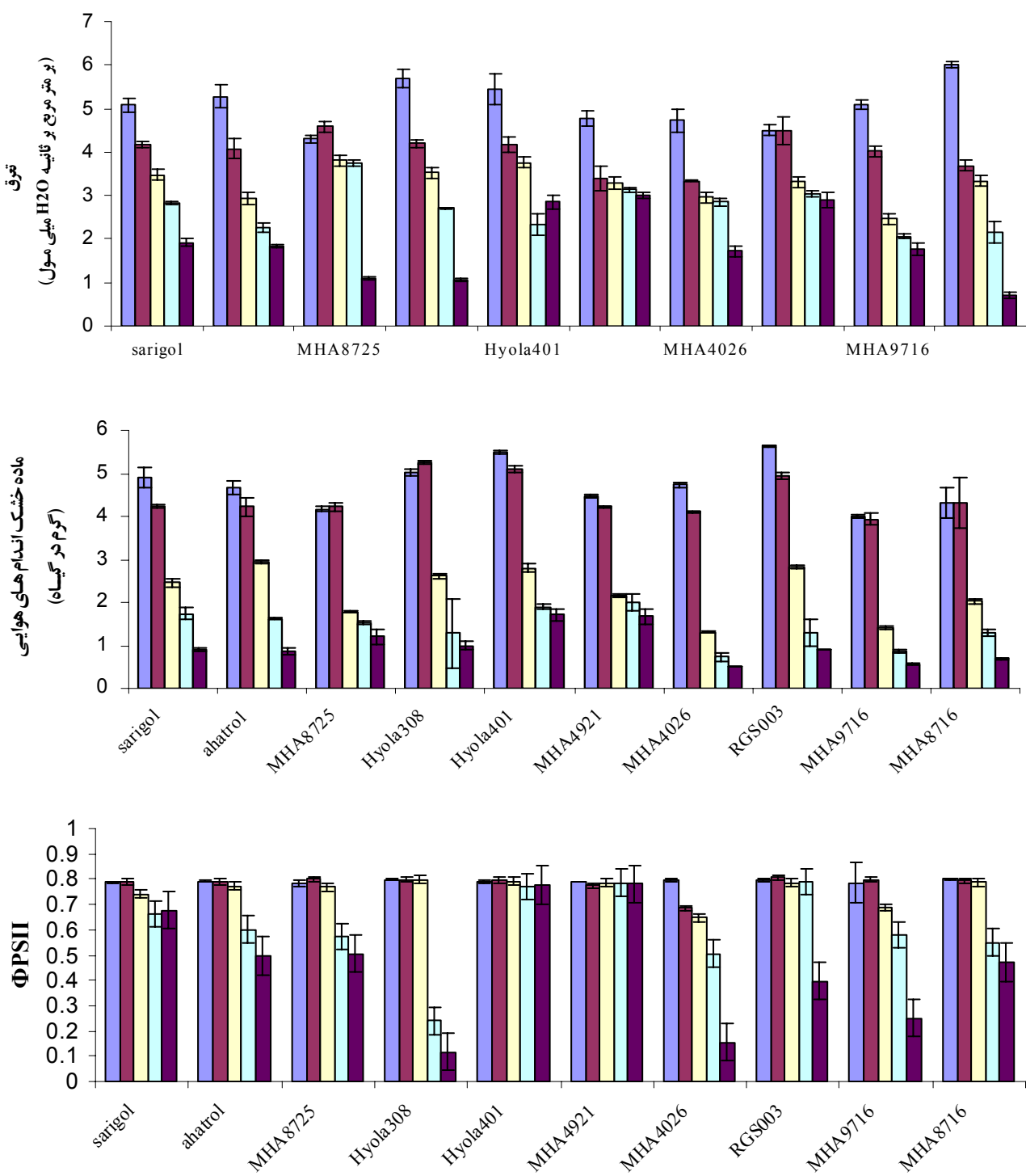
* و **: به ترتیب معنی دار در سطح ۵ و ۱ درصد.

ns: غیر معنی دار.

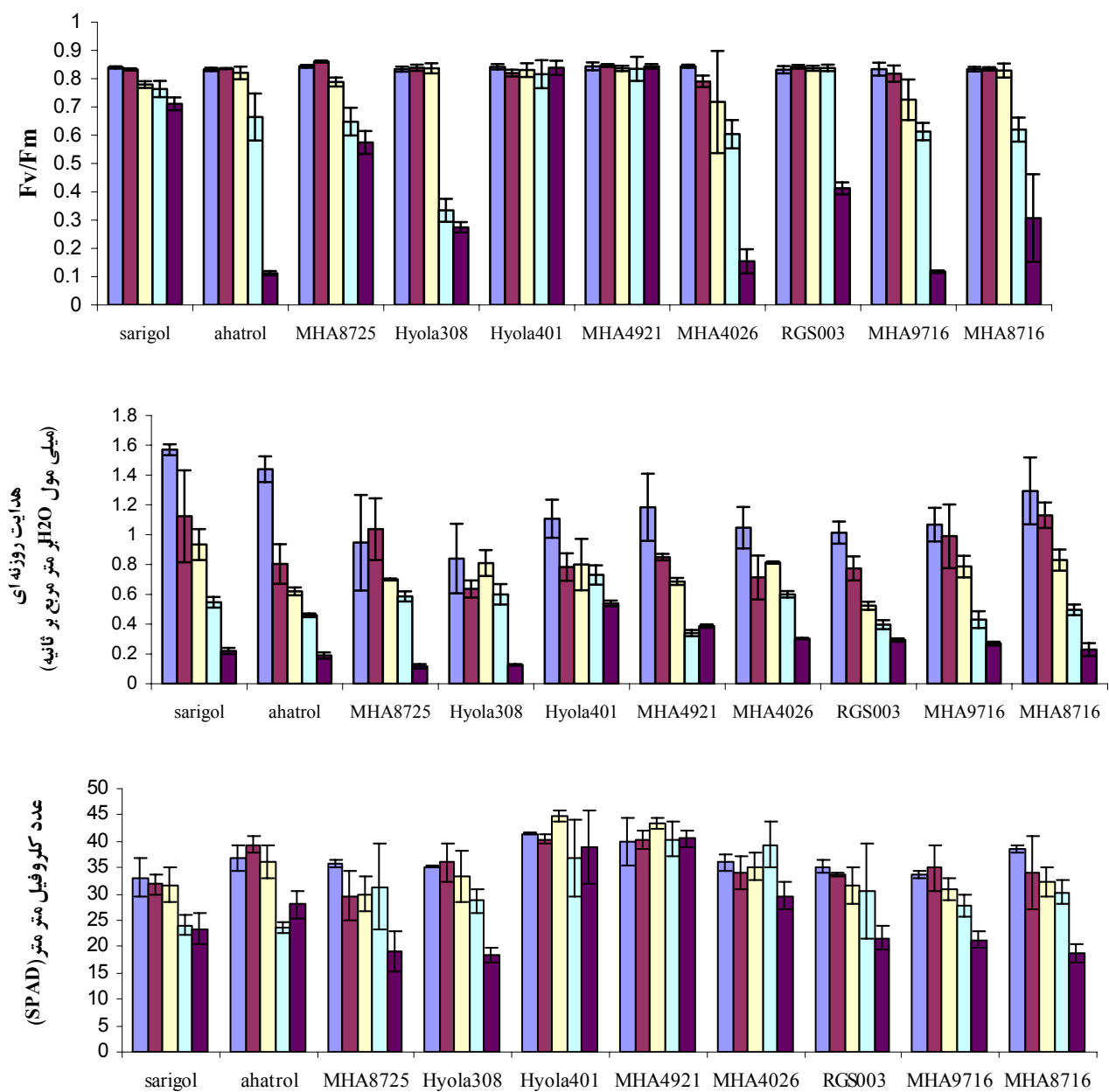
بحث

انجام گرفت مشاهده شد که، ارقام در مرحله گیاهچه‌ای دارای ماده خشک بیشتری در شرایط تنفس شوری بودند، در عملکرد نیز نسبت به بقیه برتری داشتند و دارای تحمل بیشتری به شوری بودند، در ضمن بررسی صفات فیزیولوژیک نیز همین نتایج را تأیید کرد (۹ و ۴۱). همچنین در این آزمایش، اختلاف بین سطوح مختلف شوری از نظر تولید ماده خشک معنی دار شد (۹ و ۴۱). این محققین با انتقال ژن باکتریایی betA به یکی از گونه‌های براسیکا (*Brassica oleracea Var. Capitata*) تحمل به شوری را افزایش دادند (۹ و ۴۱). این ژن مسئول سنتز گلیسین بتائین می‌باشد که در نهایت باعث افزایش مقدار ماده خشک در رقم ترانس ژنیک نسبت به رقم غیر ترانس ژنیک شده است (۱۵). محقق دیگری گزارش کرد که، بین زیست توده اندام‌های هوایی در مرحله گیاهچه‌ای و عملکرد دانه در کلزا ارتباط مستقیمی وجود دارد (۴). در غربالگری ارقام تمحمل به شوری ترا پلوبئید گندم مقدار ماده خشک به عنوان یک ملاک مهم قرار گرفته و میزان تحمل به شوری در تیمارهای مختلف به صورت درصدی از ماده خشک اندام هوایی تیمار شاهد محاسبه می‌شود (۳۶). با توجه به موارد ذکر شده می‌توان نتیجه گرفت که تولید ماده خشک تحت شرایط استرس شوری یکی از ملاک‌های مناسب جهت انتخاب

به منظور سنجش تحمل به شوری، حفظ ماده خشک اندام‌های هوایی یکی از ملاک‌های مناسب محسوب می‌شود (۴۴). در مورد گیاه کلزا نیز تجمع بیشتر ماده خشک در شرایط استرس شوری یکی از ملاک‌های تحمل معرفی شده است (۱۱). با مقایسه مقدار ماده خشک تولیدی در ارقام مختلف کلزا در مرحله رویشی و مقایسه آن با عملکرد دانه مشخص شده که مقدار ماده خشک در مرحله رویشی در کلزا در زمان مواجه شدن با استرس شوری متناسب با عملکرد دانه کاهش می‌یابد (۲۵). در این آزمایش مشخص شد که در سطوح بالای شوری MHA4921 و Hyola401 دارای حداقل ماده خشک و MHA4026 و MHA9716 دارای حداقل ماده خشک می‌باشند. از این رو دو ژنوتیپ اول مقاومترین و ژنوتیپ‌های بعدی حساس‌ترین ژنوتیپ‌ها نسبت به شوری می‌باشند. البته RGS003 در شرایط نرمال دارای ماده خشک بالایی بود، ولی با افزایش سطح شوری از این نظر کاهش قابل توجهی نشان داد. محققین میزان تحمل به شوری در کلزا را با مقدار ماده خشک تولیدی در مرحله گیاهچه‌ای متناسب دانسته‌اند (۱۲). در تحقیقاتی که به منظور اندازه‌گیری پارامترهای مختلف فیزیولوژیک و همچنین مقدار ماده خشک اندام‌های هوایی



شکل ۱. تعرق، ماده خشک کل اندام‌های هوایی و عملکرد کوآنتمومی فتوسیستم دو در شرایط روشنایی. ستون‌ها در هر رقم از چپ به راست: شاهد، ۶، ۱۰، ۱۴ و ۱۸ دسی زیمنس بر متر



شکل ۲. عملکرد کوآنتومی فتوسیستم دو در شرایط تاریکی (Fv/Fm)، هدایت روزنها و عدد کلروفیل متر در سطوح مختلف شوری. ستون‌ها در هر رقم از چپ به راست: شاهد، ۶، ۱۴، ۱۰ و ۱۸ دسی‌زیمنس بر متر

فتوسیستم II می‌باشد (۲۰ و ۲۹). در سال‌های اخیر از نسبت Fv/Fm جهت تعیین استرس در گیاهان زراعی استفاده شده است (۲۹). در این آزمایش اختلاف بین Fv/Fm در تیمارهای مختلف شوری و ژنوتیپ‌های مختلف و اثر متقابل آنها معنی دار شد. مقدار Fv/Fm از سطح شوری ۱۴ دسی‌زیمنس بر متر افت

ارقام مقاوم است (۱۵).

فلورسانس کلروفیل در اثر شوری دچار تغییراتی شده و از این رو می‌توان از آن جهت غربالگری ارقام مقاوم استفاده کرد (۱۳). کارکرد دستگاه فتوسترزی را می‌توان از طریق اندازه گیری مورد بررسی قرار داد که در واقع عملکرد کوآنتومی

۱۱ دسی‌زیمنس بر متر است (۴۴). نتایج آزمایش دیگری نشان داد که، تحت تأثیر تنفس سرما مقادیر عملکرد کوآنتومی فتوسیستم دو در ارقام حساس کاهش یافته و از Fv/Fm به عنوان یک ملاک غربالگری در آزمایش خود استفاده کردند (۱).

در این تحقیق مقدار کلروفیل در ژنوتیپ‌های متholm تغییری نداشته است ولی در ژنوتیپ‌های حساس و حد واسط با افزایش سطح شوری مقدار آن کاهش یافت. یکی از عوامل کاهش کلروفیل افزایش سدیم در اندام‌های هوایی می‌باشد که سبب تجزیه کلروفیل در برگ‌ها می‌شود (۲۳). بررسی ارقام مقاوم و حساس به شوری در کلزا ثابت کرده است که غلطت سدیم در اندام‌های هوایی در ارقام حساس به طور معنی‌داری بیشتر از ارقام مقاوم می‌باشد (۱۱). از آنجا که غلطت بالای سدیم در اندام‌های هوایی باعث تخریب سریع تر کلروفیل می‌شود (۲۷) و برخی آن را ناشی از افزایش فعالیت کلروفیل‌از عنوان کردند (۳۳)، می‌توان نتیجه گرفت که در این آزمایش ژنوتیپ‌های غیر متholm مقادیر بیشتری از سدیم را در اندام‌های هوایی خود تجمع داده و این امر منجر به تجزیه کلروفیل و کاهش عملکرد کوآنتومی فتوسیستم دو شده است. پس توانایی حفظ کلروفیل در گیاه سبب بهبود وضعیت قدرت رویش گیاهچه می‌شود (۲۴).

فتوصیز و رشد سلول از جمله فرایندهایی است که در ابتدا توسط شوری تحت تأثیر قرار می‌گیرد (۱۹). مقدار فتوستزر، هدایت روزنها و تعرق در این آزمایش با افزایش شدت شوری کاهش یافت. نتایج نشان داد کاهش میزان فتوستزر در این آزمایش (شکل ۳) نتیجه تأثیر شوری بر عوامل روزنها و غیر روزنها و یا تأثیرات مستقیم NaCl بر فتوستزر می‌باشد.

محدودیت‌های غیر روزنها شامل کاهش عملکرد کوآنتومی فتوسیستم II در ژنوتیپ‌های حساس و نیز حد واسط می‌باشد. در ژنوتیپ‌های مقاوم Fv/Fm و $\Phi P S I I$ دچار تغییر نشد، ولی هدایت روزنها تحت تأثیر قرار گرفت. پس محدودیت ورود CO_2 و نیز تأثیرات سمی تجمع نمک منجر به بازداری از اسیمیلاسیون CO_2 در کلیه ژنوتیپ‌ها شده است.

قابل توجهی داشت. Hyola401 و MHA4921 دارای ماکریم Fv/Fm (به ترتیب ۰/۸۴ و ۰/۸۲) بودند. از این رو ارتباط بین فلورسانس کلروفیل و تحمل به شوری، مستقیم گزارش شده است (۱۴).

نکته مهم این‌که مقدار کلروفیل تحت تأثیر شوری قرار دارد که این تأثیر از طریق بازداری از سنتز کلروفیل و نیز کاهش مقدار کلروفیل صورت می‌گیرد (۵۴). نتایج عدد کلروفیل متر در این تحقیق نشان داد که اثر شوری بر مقدار نسبت کلروفیل معنی‌دار بوده و از سطح شوری ۱۴ دسی‌زیمنس بر متر مقدار کلروفیل (در ژنوتیپ‌های غیر متholm) کاهش یافته است. ارقام متholm به شوری در این آزمایش (MHA4921 و Hyola401) بیشترین مقدار کلروفیل را داشتند (به ترتیب ۴۰/۹ و ۴۰/۴). شوری تأثیری بر این دو رقم از این نظر نداشت. فلورسانس کلروفیل به طور مستقیم با فعالیت و مقدار کلروفیل مرتبط است. با مقایسه میانگین‌های مقدار Fv/Fm و عدد کلروفیل متر در سطوح مختلف شوری و ژنوتیپ‌های مختلف و اثر متقابل آنها می‌توان نتیجه گرفت هم‌زمان با کاهش قابل توجه مقدار کلروفیل از تیمار ۱۴ دسی‌زیمنس بر متر مقدار Fv/Fm نیز افت شدیدی در ژنوتیپ‌های غیر متholm داشته است. مقایسه میانگین‌های اثرات متقابل نشان داد که مقدار نسبت کلروفیل در ارقام متholm در این آزمایش تحت تأثیر شوری واقع نشد. استرس شوری باعث کاهش مقدار Fv/Fm در گونه‌های وحشی سویا (۲۸)، Arabidopsis (۴۶)، جو دو سر و گندم (۵۲) می‌شود. استرس گرما نیز کاهش Fv/Fm را در ذرت به دنبال دارد (۵۱).

در این آزمایش مقدار کلروفیل و نیز مقدار Fv/Fm در دو سطح بالای شوری (۱۴ و ۱۸ دسی‌زیمنس بر متر) در ارقام حساس و حد واسط تحت تأثیر قرار گرفتند. در تیمار ۶ و ۱۰ دسی‌زیمنس بر متر تفاوتی از این لحاظ دیده نشد. به نظر می‌رسد در این آزمایش آستانه خسارت به عملکرد کوآنتومی فتوسیستم دو از سطح سوم شوری به بعد می‌باشد. محقق دیگری نیز گزارش کرد که آستانه خسارت به عملکرد در کلزا



شکل ۳. مقدار فتوستتر در سطوح مختلف شوری. ستون‌ها در هر رقم از چپ به راست: شاهد، ۶، ۱۴ و ۱۸ دسی‌زیمنس بر متر

وضعیت فتوستتری برگ به کار می‌رود(۴۵). وقتی گیاه در معرض استرس شوری قرار می‌گیرد دچار نوعی خشکی(خشکی فیزیولوژیک: در اثر کاهش پتانسیل اسمزی به علت افزایش املاح بوجود می‌آید) شده و ریشه‌ها تحت این شرایط مقدار اسید آبسزیک را افزایش داده که این هورمون از طریق جریان تعرق به اندام‌های هوایی منتقل می‌شود. این هورمون در اندام‌های هوایی باعث کاهش هدایت روزنه‌ها و به تعییت از آن کاهش تعرق می‌شود(۵۶) و در نهایت به دلیل کاهش انتشار CO_2 ، فتوستتر و رشد دچار اختلال می‌شود(۴). کاهش فتوستتر و رشد، کاهش مقدار ماده خشک اندام‌های هوایی را به دنبال داشته که در نهایت منجر به کاهش عملکرد می‌شود. در این آزمایش افزایش سدیم در محلول غذایی(هوگلن) باعث منفی تر شدن پتانسیل اسمزی در اطراف ریشه شده و ریشه گیاه را با خشکی فیزیولوژیک مواجه کرده است و این فرایند احتمالاً با افزایش مقدار اسید آبسزیک باعث بسته شدن روزنه‌ها و کاهش تعرق و کاهش انتشار CO_2 به داخل برگ‌ها شده است. کاهش انتشار CO_2 کاهش فتوستتر را به دنبال داشته و مقدار ماده خشک اندام‌های هوایی روند نزولی پیدا کرده است. به عقیده برخی محققین استرس شوری با کاهش هدایت روزنه‌ای، اختلال در فرایندهای متابولیکی و یا ترکیبی از این دو فرایند باعث کاهش فتوستتر می‌شود(۴).

کاهش فتوستتر در همه ژنوتیپ‌ها مشاهده شد، ولی در ژنوتیپ‌های متحمل این کاهش کمتر بود. علی‌رغم این که فتوستتر باعث تولید مواد ساختماری و غیر ساختماری در گیاه است، تولید مواد آلی اسمزی را نیز بر عهده دارد که در نهایت منجر به تنظیم اسمزی در گیاه می‌شود(۴۱). واکنش‌های سازگاری تحت استرس شوری فتوستتر را به طور غیر مستقیم تحت تأثیر قرار داده (در ژنوتیپ‌های متحمل و غیر متحمل) که این امر منجر به باز داری از رشد می‌شود(۱۹). یکی از این واکنش‌های سازگاری تحت استرس شوری تجمع مقادیر زیادی از قندها است که نتیجه عدم به کارگیری طبیعی آنها در بافت‌های در حال رشد است(۵) که ممکن است در این آزمایش با اثر بازدارنده فیدبک (تجمع قندها در سیتوپلاسم بر اثر کاهش تقاضا و اثر بازدارنده فیدبک آن بر فتوستتر) در کلیه ژنوتیپ‌ها باعث کاهش در فتوستتر شده باشد. هدایت روزنه‌ای نیز با افزایش سطح شوری در همه ژنوتیپ‌ها کاهش یافته و تعرق نیز همسو با آن دارای روندی نزولی بود. هدایت روزنه‌ای یکی از پارامترهایی بود که در این آزمایش و در همه سطوح شوری به سرعت تحت تأثیر قرار گرفت.

در آزمایش‌هایی واکنش سریع هدایت روزنه‌ای در کلزا (۴۲) و نیز در سیب زمینی (۳۱) نسبت به تنش شوری دیده شده است. هدایت روزنه‌ای برگ به عنوان شاخصی برای

الکترون ممکن است مسیر متابولیسم نیتروژن و سولفور باشد که گیاه متحمل از این دو ترکیب به عنوان محلول‌های سازگار (Compatible Solute) استفاده می‌کند (۴۶ و ۱۳). در گیاه مقاوم به شوری (*The Ilungiella Halophila*) تحت شدت‌های بالای نوری، استرس شوری افزایش تقاضا برای این دو ترکیب را باعث شده و در نهایت منجر به افزایش Φ_{PSII} شده است (۴۶). از موارد بالا می‌توان چنین استنباط کرد که تحت تأثیر شوری محدودیت‌های روزنه‌ای و غیر روزنه‌ای در کلیه ژنتیک‌ها به وجود آمد. افزایش در محدودیت‌های روزنه‌ای به همراه کاهش پارامترهای فتوستتیز باعث کاهش اسیمیلاسیون CO_2 شد. محدودیت‌های غیر روزنه‌ای مانند کاهش عملکرد کوآنتومی فتوسیستم II و نیز احتمالاً تجمع محلول‌های سازگار، از طریق تأثیر بازدارندگی فیدبک باعث کاهش اسیمیلاسیون CO_2 می‌شود. شوری با کاهش عملکرد کوآنتومی باعث کاهش تولید ATP و NADPH شده که این به نوبه خود کاهش تولید مجدد RUBP و کاهش کربوکسیلاسیون را به دنبال داشته که در نهایت منجر به کاهش رشد گیاه می‌شود.

نتیجه‌گیری

نتایج این آزمایش نشان داد، عملکرد کوآنتومی فتوسیستم دو، معیار مناسبی جهت انتخاب ژنتیک‌های متحمل به شوری می‌باشد. تنش شوری باعث کاهش تعرق، هدایت روزنه‌ای، فتوستت و ماده خشک در همه ژنتیک‌ها شد ولی این کاهش در ژنتیک‌های متحمل کمتر بود. عملکرد کوآنتومی فتوسیستم دو و مقدار کلروفیل (SPAD)، در ژنتیک‌های متحمل تحت تأثیر واقع نشد، بنابراین می‌توان از آنها جهت برنامه‌های اصلاحی و غربالگری استفاده نمود.

اختلال در عمل انتقال الکترون در غشاء تیلاکوئید در ژنتیک‌های مورد بررسی در این آزمایش به جزء ژنتیک مقاوم دیده می‌شود که باعث کاهش در فتوستت شده است. کاهش در مقادیر Φ_{PSII} از سطح شوری ۱۴ دسی‌زیمنس بر متر در ژنتیک‌های غیر متحمل نشان‌دهنده کاهش انتقال خطی الکترون در فتوسیستم دو می‌باشد. این کند شدن جریان در اثر تأخیر در عمل اکسیداسیون و احیاء در QA می‌باشد (۵۶). کاهش مقدار Fv/Fm که حداقل راندمان انرژی برانگیخته توسط مراکز واکنش باز در فتوسیستم II می‌باشد نشان دهنده کاهش فتوستت یا بازدارندگی نوری (Photo inhibition) است (۱۸ و ۴۶). نتایج این تحقیق نشان داد که کاهش Φ_{PSII} در ژنتیک‌های حساس غالباً به دلیل تخریب کلروفیل در اثر افزایش سدیم در اندام‌های هوایی می‌باشد و کاهش عدد کلروفیل متر (به خصوص در دو سطح بالای شوری در ژنتیک‌های غیر متحمل) نیز تاییدی بر این مطلب می‌باشد. زیرا همان‌طور که گفته شد مقدار کلروفیل با فلورسانس کلروفیل مرتبط بوده و از آن به عنوان معیاری جهت تعیین کارایی فتوستت استفاده می‌شود. از آنجا که ارقام مقاوم سدیم کمتری در اندام هوایی خود تجمع می‌دهند تخریب کلروفیل در برگ‌های آنها کمتر صورت گرفته و همان‌گونه که نتایج نشان می‌دهد کلروفیل آنها تغییری نداشته و عملکرد کوآنتومی آنها بدون تغییر باقی مانده است.

عدم تغییر در Φ_{PSII} در این آزمایش در ارقام متحمل را می‌توان به دو شکل توجیه کرد: اول این که شوری باعث افزایش کلروفیل در ارقام متحمل شده است (۵) که در این آزمایش افزایشی در مقدار کلروفیل در ارقام متحمل دیده نشد. از این رو بعید به نظر می‌رسد که این موضوع دارای نقش اساسی باشد. از طرفی دیگر افزایش در مقدار فتوستت نیز دیده نشد. پس مسیر دیگری جهت مصرف الکترون‌های Φ_{PSII} در ارقام متحمل باید وجود داشته باشد. عقیده بر این است که مسیرهای مصرف

منابع مورد استفاده

۱. حسیبی، پ.، ف. مرادی و م. نبی‌پور. ۱۳۸۶. غربال کردن ژنوتیپ‌های برنج برای تحمل به تنش دمای پایین با استفاده از فلورسانس کلروفیل. مجله علوم زراعی ایران. ۹: ۱۴-۳۱.
2. Ahmadi, S. H. and J. Niazi Ardekani. 2006. The effect of water salinity on growth and physiological stages of eight Canola (*Brassica napus*) cultivars. Irrig. Sci 25: 11–20.
3. Ashraf, M. 1994 . Breeding for salinity tolerance in plants. CRC Critical. Rev. Plant Sci. 13: 17–42.
4. Ashraf, M. 2001. Relationships between growth and gas exchange characteristics in some salt-tolerant amphidiploid *Brassica* species in relation to their diploid parents. Environ. Exp. Bot. 45: 155–163.
5. Ashraf, M. 2004. Some important physiological selection criteria for salt tolerance in plants. Flora 199: 361-376.
6. Ashraf, M. and M. I. Naqvi. 1992. Effect of varying Na /Ca ratios in salin sand culture on some physiological parametes of four *Brassica* species. Acta Physiol. Plant 14(4) :197-205.
7. Ashraf, M. and N. Parveen. 2002. Photosynthetic parameters at the vegetative stage and during grain development of two hexaploid wheat cultivars differing in salt tolerance. Biol. Plantarum 45(3):401-407.
8. Ashraf, M. and P. J. C. Harris. 2004. Potential biochemical indicators of salinity tolerance in plants. Plant Sci. 166: 3-16.
9. Ashraf, M. and Q. Ali . 2008. Relative membrane permeability and activities of some antioxidant enzymes as the key determinants of salt tolerance in canola (*Brassica napus* L.). Environ. Exp. Bot. 63: 266 – 273.
10. Ashraf, M. and R. Sharif. 1998. Does salt tolerance vary in a potential oil-seed crop *Brassica carinata* at different growth stages? J. Agron. Crop Sci. 181:103 - 115.
11. Ashraf, M. and T. McNeilly. 2004. Salinity tolerance in some brassica oilseeds. Crit. Rev. Plant Sci. 23: 154-174.
12. Ashraf, M., T. McNeilly and M. Nazir. 2001. Comparative salt tolerance of amphidiploid and diploid *Brassica* species. Plant Sci. 160: 683–689.
13. Baker, N. R. and E. Rosenqvist. 2004. Application of chlorophyll fluorescence can improve crop production strategies: an examination of future possibilities. J. Exp. Bot. 55(403): 1607 – 1621.
14. Belkhodja, R., F. Morales, A. Abadia, J. Gomes-Aparisi and J. Abadia . 1994. Chlorophyll fluorescence as a possible tool for salinity tolerance screening in barley (*Hordeum vulgare*). Plant Physiol. 104: 667-673.
15. Bhattacharya, R. C., M. Maheswari, V. Dineshkumar, P. B. Kirti, S. R. Bhat and V. L. Chopra. 2004. Transformation of *Brassica oleracea* var.capitata with bacterial betA gene enhances tolerance to salt stress. Sci. Hortic. Amsterdam 100:215 – 227.
16. Blumwald, E. 2004. Sodium transport and salt tolerance in plants. Curr. Opin. Cell Biol. 12:431–434.
17. Blumwald, E., S. G. Aharon and M. P. Apse. 2000. Sodium Transport in Plant Cells. Biochim. Biophys. Acta 1465: 140–151.
18. Bryla, A., P. Carrier, F. Franck, C. Coulomb, C. Sahut and M. Havaux. 2001. Leaf chlorosis in oilseed rape (*Brassica napus*) grown on cadmium-polluted soil: causes and consequences for photosynthesis and growth. Planta 212:696-709.
19. Chaves, M. M., J. Flexas and C. Pinheiro. 2009. Photosynthesis under drought and salt stress: regulation mechanisms from whole plant to cell. Ann. Bot-London. 103:551 – 560.
20. Chen, C., G. Jackson, K. Neill, D. Wichman, G. Johnson and D. Johnson. 2005a. Determining the feasibility of early seeding canola in the northern Great Plains. Agron. J 97:1252–1262
21. Chen, Z., I. Newman, M. Zhuo, N. Mendham, G. Zhang and S. Shabala. 2005b. Screening plants for salt tolerance by measuring K⁺ flux:a case study for barely. Plant Cell Environ. 28: 1230-1246.
22. Corney, H. J., J. M. Sasse and P. K. Ades. 2003. Assesment of salt tolerance in eucalipts using chlorophyll fluorescence attributes. New Forest 26: 233 – 246.
23. Dingkuhn, M., S. K. De Datta, R. Pamplona, C. Javellana and H. F. Schnier. 1992. Effect of late- season N fertilization on photosynthesis and yield of transplanted and direct- seeded tropical flooded rice. II. A canopy stratification study. Field Crop. Res. 28: 235 – 249.
24. Francis, D. and D. Piekielek. 2000. Assessing crop nitrogen needs with chlorophyll meters.The site specific management guidelines series is published by the potash and phosphate institute(PPI).Coordinated by South Dakota State University(SDSU).
25. Francois, L. E. 1994. Growth, seed yield and oil content of canola grown under saline conditions. Agron. J 86: 233–237.
26. HE, T. and G. R. CRAMER. 1992. Growth and mineral nutrition of six rapid-cycling *Brassica* species in response to seawater salinity. Plant Soil Sci. 139: 285-294.
27. Husain, S., R. Munns and A. G. Condon. 2003. Effect of sodium exclusion trait on chlorophyll and growth of durum wheat in saline soil. Aust. J. Agric. Res. 54: 589 – 597.
28. Kao, W. Y., T. T. Tsai and C. N. Shih. 2003. Photosynthetic gas exchange and chlorophyll a fluorescence of three

- wild soybean species in response to NaCl treatments. *Photosynthetica* 41(3): 415 – 419.
29. Khan, S., Y. Yoshida and S. Islam. 2006. Characteristics of photosynthetic behaviors and chlorophyll fluorescence in different vegetable species. *Asian J. Plant Sci.* 5 (2): 266 - 270.
30. Kumar, S. G., A. Lakshmi, K. V. Madhusudhan, S. Ramanjulu and C. Sudhakar. 1999. Photosynthesis parameters of mulberry differing in salt tolerance. *Photosynthetica* 36(4):611 – 616.
31. Liu, F., C. R. Jensen, A. Shahanzari, M. N. Andersen and S. E. Jacobsen. 2005. ABA regulated stomatal control and photosynthetic water use efficiency of potato (*Solanum tuberosum L.*) during progressive soil drying. *Plant Sci.* 168: 831 – 836.
32. Maathuis, F. J. M. and A. Amtmann. 1999. K⁺ Nutrition and Na⁺ Toxicity: The basis of cellular K+/Na+ Ratios. *Ann. Bot.* 84: 123 – 133.
33. Mansour, M.M.F. and K.H.A. Salama. 2004. Cellular basis of salinity tolerance in plants. *Environ. Exp. Bot.* 52: 113 – 122.
34. Mokhamed, A. M., G. N. Ral'dugina, V. P. Kholodova and Vl. V. Kuznetsov. 2006. Osmolyte accumulation in different rape genotypes under sodium chloride salinity. *Russ. J. Plant Physiol.* 53(5): 649–655.
35. Moradi, F. and A. M. Ismail. 2007. Responses of Photosynthesis, Chlorophyll Fluorescence and ROS-Scavenging Systems to Salt Stress During Seedling and Reproductive Stages in Rice. *Ann. Bot.* 99: 1161–1173.
36. Munns, R. and R. A. James. 2003. Screening method for salinity tolerance: a case study with tetraploid wheat. *Plant Soil Sci.* 253: 201-218.
37. Murillo-Amadot, B., E. Troyo-Die'guez, R. Lo'pez-Aguilar, A. Lo'pez-Corte's, C. L. Tinoco-janguri, H. G. Jones and C. Kaya. 2002. Matching physiological traits and ion concentrations associated with Salt stress in cowpea genotypes. *Aust. J. Agric. Res.* 53:1243 – 1255.
38. Netondo, G. W., J. C. Onyango and E. Beck. 2004. Sorghum and salinity: II. Gas exchange and chlorophyll fluorescence of sorghum under salt stress. *Crop Sci.* 44:806-811.
39. Neumann, P. 1997. Salinity resistance and plant growth revisited. *Plant Cell Environ.* 20: 1193 – 1198.
40. Niu, X., R. A. Bressan, P. M. Hasegawa and J. M. Pardo. 1995. Ion homeostasis in NaCl stress environments. *Plant Physiol.* 109: 735-742.
41. Qasim, M., M. Ashraf, M. A. Jamil, M. Y. Ashraf, S. U. Rehman and E. S. Rha. 2003a. Water relations and leaf gas exchange properties in some elite canola (*Brassica napus*) lines under salt stress. *Ann. Appl. Biol.* 142:307-316.
42. Qasim, M., M. Ashraf, M. Y. Ashraf, S-U. Rehman and E. S. Rha. 2003b. Salt-induced changes in two canola cultivars differing in salt tolerance. *Biol. Plantarum* 46 (4):629-632.
43. Reddy, M. P. and A. B. Vora. 1986. Changes in pigments composition, hill reaction activity and saccharine metabolism in bajra (*Pennisetum typhoides* S&H) leaves under NaCl salinity. *Photosynthetica* 20: 50 -55.
44. Shannon, M. C. 1998. Adaptation of plants to salinity. *Adv. Agron.* 60:75-119.
45. Shimono, H., T. Hasegawa, S. Fujimura and K. Iwama. 2004. Response of leaf photosynthesis and plant water status in rice to low water tempreture at different growth stages. *Field Crop. Res.* 89: 71- 83.
46. Stepien, P. and N. G. Johnson. 2009. Contrasting responses of photosynthesis to salt stress in the glycophyte *arabidopsis* and the halophyte *thellungiella*: Role of the plastid terminal oxidase as an alternative electron sink. *Plant Physiol.* 149: 1154 – 1165.
47. Sudhir, P. and S. D. S. Murthy. 2004. Effects of salt stress on basic processes of photosynthesis. *Photosynthetica* 42 (4): 481-486.
48. Sultana, N., T. Ikeda and R. Itoh. 1999. Effect of NaCl salinity on photosynthesis and dry matter. *Environ. Exp. Bot.* 42: 211- 220.
49. Tester, M. and R. Davenport. 2003. Na⁺ tolerance and Na⁺ transport in higher plants. *Ann. Bot.* 91: 503-527.
50. Xiong, L. and J. -K. Zho. 2002. Molecular and genetic aspects of plant responses to osmotic stress. *Plant Cell Environ.* 25:131–139.
51. Yang, G., D. Rhodes and R. J. Joly. 1996. Effects of high temperature on membrane stability and glycinebetaine-deficient and chlorophyll fluorescence in glycinebetaine-containing maize lines. *Aust. J. Plant Physiol.* 23: 437- 443.
52. Zair, I., A. Chlyah, K. Sabounji, M. Tittahsen and H. Chlyah. 2003. Salt tolerance improvement in some wheat cultivars after application of in vitro selection pressure. *Plant Cell Tiss. Org.* 73: 237- 244.
53. Zhang, H.X., J. N. Hodson, J. P. Williams and E. Blumwald. 2001. Engineering salt-tolerant *Brassica* plants:Characterization of yield and seed oil quality in transgenic plants with increased vacuolar sodium accumulation. Communicated by Emanuel Epstein, University of California, Davis. www.pnas.org/cgi/doi/10.1073/pnas.231476498
54. Zhao, G. Q., B. L. Ma and C. Z. Ren. 2007. Growth, gas exchange, chlorophyll fluorescence and ion content of naked oat in response to salinity. *Crop Sci.* 47:123–131.
55. Zhu, J. K. 2001. Plant salt tolerance. *Trends Plant Sci.* 6: 66–71.
56. Zlatev, Z. S. and I. T. Yordanov. 2004. Effect of soil drought on photosynthesis and chlorophyll fluorescence in bean plants. *Bulg. J. Plant Physiol.* 30(3-4): 3 – 18.